

COMMITTENTE:



DIREZIONE LAVORI:



APPALTATORE:

CONSORZIO:

HIRPINIA - ORSARA AV

SOCI:



PROGETTAZIONE:

MANDATARIA:



MANDANTI:



## PROGETTO ESECUTIVO

### ITINERARIO NAPOLI - BARI RADDOPPIO TRATTA APICE - ORSARA II LOTTO FUNZIONALE HIRPINIA - ORSARA

LINEA DI CONTATTO

LC00 – ELABORATI A CARATTERE GENERALE

Relazione di calcolo supporto pendulo scatolare impiego in linea in galleria

APPALTATORE	DIRETTORE DELLA PROGETTAZIONE	PROGETTISTA
Consorzio ORSARA - BOVINO AV Il Direttore Tecnico Ing. P. M. Gianvecchio 08/06/2022	Il Responsabile integrazione fra le varie prestazioni specialistiche Ing. G. Cassani	 Ing. M. De Leo

COMMESSA	LOTTO	FASE	ENTE	TIPO DOC.	OPERA/DISCIPLINA	PROGR.	REV.	SCALA:
IF3A	02	E	ZZ	CL	LC0000	003	B	-

Rev.	Descrizione	Redatto	Data	Verificato	Data	Approvato	Data	Autorizzato Data
A	C 08.00 - Emissione 180gg	M. Granzotto	08/02/2022	G. Canneti	08/02/2022	M. Simeone	08/02/2022	Ing. M. Simeone    08/06/2022
B	C 08.01 - A valle del contraddittorio	M. Granzotto	08/06/2022	G. Canneti	08/06/2022	M. Simeone	08/06/2022	

File: IF3A02EZZCLLC0000003B.docx

n. Elab.:

## Indice

<b>1</b>	<b>OGGETTO.....</b>	<b>3</b>
<b>2</b>	<b>NORMATIVA DI RIFERIMENTO.....</b>	<b>4</b>
<b>3</b>	<b>MATERIALI.....</b>	<b>5</b>
3.1	ACCIAIO DA CARPENTERIA.....	5
3.2	ACCIAIO PER TIRAFONDI.....	5
3.3	CALCESTRUZZO.....	5
<b>4</b>	<b>SOFTWARE DI CALCOLO.....</b>	<b>6</b>
<b>5</b>	<b>ANALISI DEI CARICHI.....</b>	<b>7</b>
5.1	PESO PROPRIO.....	7
5.2	AZIONI SUL PENDULO.....	7
5.2.1	AZIONI VERTICALI.....	7
5.2.2	AZIONI LONGITUDINALI.....	7
5.2.3	AZIONE DEL VENTO.....	7
5.2.4	PRESSIONE AERODINAMICA DOVUTA AL PASSAGGIO DEI CONVOGLI.....	7
5.3	AZIONI DI ORIGINE SISMICA.....	9
5.4	COMBINAZIONI DEI CASI DI CARICO.....	9
<b>6</b>	<b>MODELLAZIONE DELLA STRUTTURA E DELLE AZIONI.....</b>	<b>11</b>
6.1	CARATTERISTICHE GEOMETRICHE E MECCANICHE.....	11
<b>7</b>	<b>VERIFICA STRUTTURALE.....</b>	<b>13</b>
7.1	PENDULO.....	13
7.2	PIASTRE DI ANCORAGGIO.....	14
7.2.1	VERIFICA TENSIONALE.....	14
7.2.2	VERIFICA A PUNZONAMENTO.....	17
7.2.3	VERIFICA DEL TIRANTE E DEI PERNI DI COLLEGAMENTO.....	18
7.3	VERIFICHE DEI COLLEGAMENTI POST INSTALLATI SULLA VOLTA DELLA GALLERIA.....	21
<b>8</b>	<b>CONCLUSIONI.....</b>	<b>27</b>























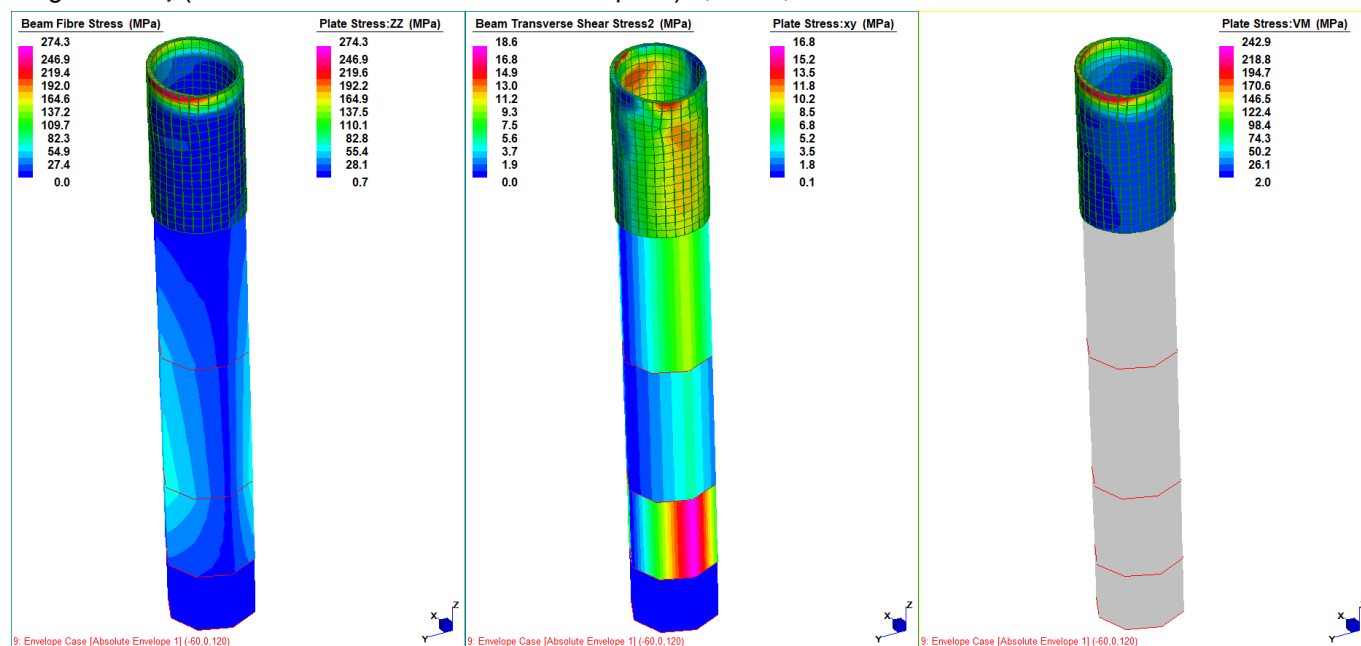
<b>APPALTATORE:</b> Consorzio Soci <b>HIRPINIA – ORSARA AV WEBUILD ITALIA PIZZAROTTI</b>	<b>ITINERARIO NAPOLI – BARI</b>  <b>RADDOPPIO TRATTA APICE - ORSARA</b> <b>II LOTTO FUNZIONALE HIRPINIA - ORSARA</b>					
<b>PROGETTAZIONE:</b> Mandataria Mandanti <b>ROCKSOIL S.P.A NET ENGINEERING PINI GCF</b> <b>ELETTRI-FER M-INGEGNERIA</b>						
<b>PROGETTO ESECUTIVO</b>	COMMESSA <b>IF3A</b>	LOTTO <b>02</b>	CODIFICA <b>E ZZ CL</b>	DOCUMENTO <b>LC0000 003</b>	REV. <b>B</b>	FOGLIO <b>13 di 27</b>

## 7 VERIFICA STRUTTURALE

### 7.1 PENDULO

La verifica del pendulo viene condotta in termini tensionali, controllando che la massima tensione ideale di calcolo sia inferiore al limite di snervamento del materiale ( $f_{yd} = 338\text{MPa}$ ).

A tale scopo si riportano le mappe tensionali di involuppo agli SLU e SLV delle tensioni normali  $\sigma_{zz}$ , delle tensioni tangenziali  $\tau_{xy}$  (nel sistema di riferimento locale dei plate) e, infine, delle tensioni combinate secondo Von Mises.



La massima tensione ideale di calcolo è di circa  $243\text{MPa} < f_{yd}$ , pertanto la verifica è da ritenersi soddisfatta.

La saldatura del tubolare alla piastra di base è costituita da un singolo cordone d'angolo di altezza di gola  $a=8\text{mm}$ , quindi:

$$t = 8\text{mm}$$

$$\sigma_{\perp} = \tau_{\perp} = \sigma_{zz} \cdot t \cdot a \cdot \cos(45) = 194\text{MPa} < 0.9 \cdot f_{tk} / \gamma_{M2} = 367\text{MPa}$$

$$\tau_{//} = \tau_{zx} \cdot t / a = 17\text{MPa}$$

$$(\sigma_{\perp}^2 + 3 \cdot \sigma_{\perp}^2 + 3 \cdot \tau_{//}^2)^{1/2} = 389\text{MPa} < f_{tk} / (\beta \cdot \gamma_{M2}) = 510 / (0.9 \cdot 1.25) = 453\text{MPa}$$

La verifica è soddisfatta.

<b>APPALTATORE:</b> Consorzio                      Soci <b>HIRPINIA – ORSARA AV   WEBUILD ITALIA      PIZZAROTTI</b>	<b>ITINERARIO NAPOLI – BARI</b>  <b>RADDOPPIO TRATTA APICE - ORSARA</b> <b>II LOTTO FUNZIONALE HIRPINIA - ORSARA</b>					
<b>PROGETTAZIONE:</b> Mandataria                      Mandanti <b>ROCKSOIL S.P.A              NET ENGINEERING    PINI    GCF</b> <b>    ELETTRI-FER    M-INGEGNERIA</b>						
<b>PROGETTO ESECUTIVO</b>	COMMESSA <b>IF3A</b>	LOTTO <b>02</b>	CODIFICA <b>E ZZ CL</b>	DOCUMENTO <b>LC0000 003</b>	REV. <b>B</b>	FOGLIO <b>14 di 27</b>

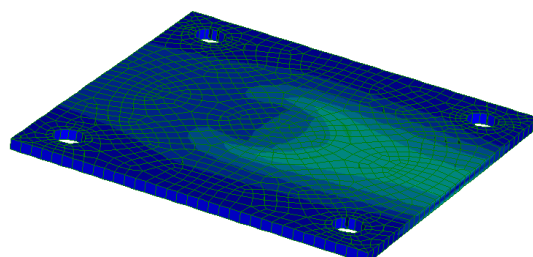
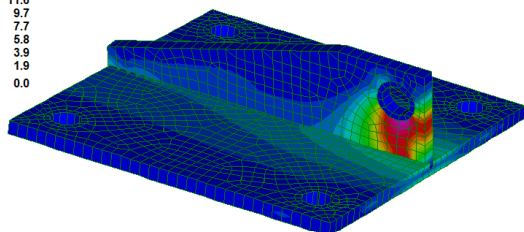
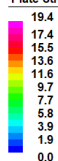
## 7.2 PIASTRE DI ANCORAGGIO

### 7.2.1 Verifica tensionale

La verifica delle piastre di ancoraggio e della nervatura viene condotta in termini tensionali, controllando che la massima tensione ideale di calcolo sia inferiore al limite di snervamento del materiale ( $f_{yd} = 338\text{MPa}$ ). A tale scopo si riportano le mappe tensionali di involucro agli SLU e SLV delle tensioni normali  $\sigma$ , nelle tre direzioni principali delle tensioni tangenziali  $\tau_{ZY}$  e, infine, delle tensioni combinate secondo Von Mises.

Per maggior chiarezza la piastra viene rappresentata capovolta nelle seguenti mappe contour.

Plate Stress:ZZ (MPa)









<b>APPALTATORE:</b> <u>Conorzio</u> <u>Soci</u> <b>HIRPINIA – ORSARA AV</b> <b>WEBUILD ITALIA</b> <b>PIZZAROTTI</b>	<b>ITINERARIO NAPOLI – BARI</b>  <b>RADDOPPIO TRATTA APICE - ORSARA</b> <b>II LOTTO FUNZIONALE HIRPINIA - ORSARA</b>					
<b>PROGETTAZIONE:</b> <u>Mandataria</u> <u>Mandanti</u> <b>ROCKSOIL S.P.A</b> <b>NET ENGINEERING</b> <b>PINI</b> <b>GCF</b> <b>ELETTRI-FER</b> <b>M-INGEGNERIA</b>						
<b>PROGETTO ESECUTIVO</b>	<b>COMMESSA</b> <b>IF3A</b>	<b>LOTTO</b> <b>02</b>	<b>CODIFICA</b> <b>E ZZ CL</b>	<b>DOCUMENTO</b> <b>LC0000 003</b>	<b>REV.</b> <b>B</b>	<b>FOGLIO</b> <b>17 di 27</b>

$$(\sigma_n^2 + \tau_{//}^2) = 24\text{MPa} < \beta_1 f_{yk} = 0.7 \cdot 355 = 248.5\text{MPa}$$

La verifica è soddisfatta.

## 7.2.2 Verifica a punzonamento

Resistenza a punzonamento delle piastre:

$$B_{p,Rd} = 0,6 \pi d_{mtp} f_u / \gamma_{M2}$$

t = 15mm (cautelativamente lo spessore minore tra le due piastre)

f<sub>u</sub> = 510MPa

γ<sub>M2</sub> = 1.25

d<sub>m</sub> = 50mm (cautelativamente il diametro del foro del tirafondo)

$$B_{p,Rd} = 0.6 \cdot \pi \cdot 50 \cdot 15 \cdot 510 / 1.25 = 577\text{kN} > F_{t,Ed} = 18\text{kN}$$

Il calcolo della forza di trazione (F<sub>t,Ed</sub>) è effettuato dal software di verifica dei tirafondi al §7.3.













APPALTATORE: Consorzio Soci HIRPINIA – ORSARA AV WEBUILD ITALIA PIZZAROTTI	<b>ITINERARIO NAPOLI – BARI</b> <b>RADDOPPIO TRATTA APICE - ORSARA</b> <b>II LOTTO FUNZIONALE HIRPINIA - ORSARA</b>					
PROGETTAZIONE: Mandataria Mandanti ROCKSOIL S.P.A NET ENGINEERING PINI GCF ELETTRI-FER M-INGEGNERIA						
PROGETTO ESECUTIVO	COMMESSA IF3A	LOTTO 02	CODIFICA E ZZ CL	DOCUMENTO LC0000 003	REV. B	FOGLIO 24 di 27

## 2 Condizione di carico/Carichi risultanti sull'ancorante

Condizione di carico: Carichi di progetto

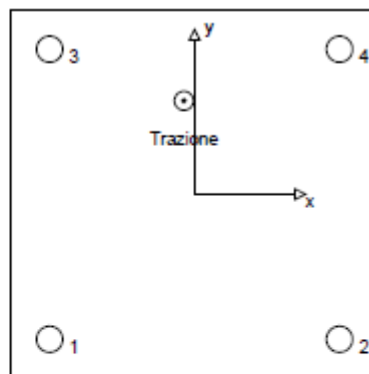
Carichi sull'ancorante [kN]

Trazione: (+ Trazione, - Compressione)

Ancorante	Trazione	Taglio	Taglio in dir. x	Taglio in dir. y
1	4.389	11.352	0.855	11.320
2	2.889	9.409	0.855	9.430
3	17.561	11.648	2.745	11.320
4	16.061	9.821	2.745	9.430

Compressione max. nel calcestruzzo: - [%]  
Max. sforzo di compressione nel calcestruzzo: - [N/mm<sup>2</sup>]  
risultante delle forze di trazione nel (x/y)=(-15/129): 40.900 [kN]  
risultante delle forze di compressione (x/y)=(0/0): 0.000 [kN]

Le forze di ancoraggio vengono calcolate presupponendo una piastra di ancoraggio rigida.



## 3 Carico di trazione SOFA (fib (07/2011), paragrafo 16.2.1)

	Carico [kN]	Resistenza [kN]	Utilizzo $\beta_s$ [%]	Stato
Rottura dell'acciaio*	17.561	121.329	15	OK
Rottura combinata conica del calcestruzzo e per sfilamento**	40.900	370.856	12	OK
Rottura conica del calcestruzzo**	40.900	298.042	14	OK
Fessurazione**	N/A	N/A	N/A	N/A

\*ancorante più sollecitato \*\*gruppo di ancoranti (ancoranti sollecitati)

### 3.1 Rottura dell'acciaio

$N_{Rk,s}$ [kN]	$\gamma_{Ms}$	$N_{Ed,s}$ [kN]	$N_{Ed}$ [kN]
347.000	2.860	121.329	17.561

### 3.2 Rottura combinata conica del calcestruzzo e per sfilamento

$A_{p,N}$ [mm <sup>2</sup> ]	$A_{c,N}^0$ [mm <sup>2</sup> ]	$\Psi_{A,Np}$	$\tau_{Rk,uz,25}$ [N/mm <sup>2</sup> ]	$s_{cr,Np}$ [mm]	$c_{cr,Np}$ [mm]	$c_{tr,N}$ [mm]
1'438'320	638'880	2.251	11.00	799	400	$\infty$
$\Psi_c$	$\tau_{Rk,uz}$ [N/mm <sup>2</sup> ]	$\max \tau_{Rk,uz}$ [N/mm <sup>2</sup> ]	$\Psi_{g,Np}^0$	$\Psi_{g,Np}$		
1.018	11.20	9.93	1.000	1.000		
$e_{c1,N}$ [mm]	$\Psi_{ec1,Np}$	$e_{c2,N}$ [mm]	$\Psi_{ec2,Np}$	$\Psi_{s,Np}$	$\Psi_{re,Np}$	
15	0.965	129	0.756	1.000	1.000	
$N_{Rk,p}^0$ [kN]	$N_{Rk,p}$ [kN]	$\gamma_{Mp}$	$N_{Ed,p}$ [kN]	$N_{Ed}$ [kN]		
406.483	667.540	1.800	370.856	40.900		

### 3.3 Rottura conica del calcestruzzo

$A_{c,N}$ [mm <sup>2</sup> ]	$A_{c,N}^0$ [mm <sup>2</sup> ]	$\Psi_{A,N}$	$c_{cr,N}$ [mm]	$s_{cr,N}$ [mm]		
2'102'500	1'102'500	1.907	525	1'050		
$e_{c1,N}$ [mm]	$\Psi_{ec1,N}$	$e_{c2,N}$ [mm]	$\Psi_{ec2,N}$	$\Psi_{s,N}$	$\Psi_{re,N}$	
15	0.973	129	0.803	1.000	1.000	
$k_1$	$N_{Rk,c}$ [kN]	$\gamma_{Mc}$	$N_{Ed,c}$ [kN]	$N_{Ed}$ [kN]		
11.000	360.135	1.800	298.042	40.900		



APPALTATORE: Consorzio Soci HIRPINIA – ORSARA AV WEBUILD ITALIA PIZZAROTTI	<b>ITINERARIO NAPOLI – BARI</b> <b>RADDOPPIO TRATTA APICE - ORSARA</b> <b>II LOTTO FUNZIONALE HIRPINIA - ORSARA</b>
PROGETTAZIONE: Mandataria Mandanti ROCKSOIL S.P.A NET ENGINEERING PINI GCF ELETTRI-FER M-INGEGNERIA	
PROGETTO ESECUTIVO	COMMESSA LOTTO CODIFICA DOCUMENTO REV. FOGLIO IF3A 02 E ZZ CL LC0000 003 B 25 di 27

#### 4 Carico di taglio SOFA (fib (07/2011), paragrafo 16.2.2)

	Carico [kN]	Resistenza [kN]	Utilizzo $\beta_V$ [%]	Stato
Rottura dell'acciaio (senza braccio di leva)*	11.648	72.899	16	OK
Rottura dell'acciaio (con braccio di leva)*	11.648	13.642	86	OK
Rottura per pryout**	42.120	848.007	5	OK
Rottura del bordo del calcestruzzo in direzione **	N/A	N/A	N/A	N/A

\*ancorante più sollecitato \*\*gruppo di ancoranti (ancoranti specifici)

##### 4.1 Rottura dell'acciaio (senza braccio di leva)

$V_{Rd,s}$ [kN]	$\gamma_{M,s}$	$V_{Rd,s}$ [kN]	$V_{Ed}$ [kN]
173.500	2.380	72.899	11.648

##### 4.2 Rottura dell'acciaio (con braccio di leva)

$I$ [mm]	$\alpha_M$			
82	2.00			
$N_{Sd} / N_{Rd,s}$	$1 - N_{Sd} / N_{Rd,s}$	$M_{Rd,s}^0$ [kNm]	$M_{Rd,s} = M_{Rd,s}^0 (1 - N_{Sd} / N_{Rd,s})$ [kNm]	
0.145	0.855	1.547	1.323	
$V_{Rd,s}^M = \alpha_M * M_{Rd,s} / I$ [kN]	$\gamma_{M,s,V}$	$V_{Rd,s}^M$ [kN]	$V_{Ed}$ [kN]	
32.468	2.380	13.642	11.648	

##### 4.3 Rottura per pryout (cono del calcestruzzo)

$A_{c,N}$ [mm <sup>2</sup> ]	$A_{c,N}^0$ [mm <sup>2</sup> ]	$\psi_{A,N}$	$c_{tr,N}$ [mm]	$s_{tr,N}$ [mm]	$k_s$
2'102'500	1'102'500	1.907	525	1'050	2.000
$e_{t,V}$ [mm]	$\psi_{ec1,N}$	$e_{c2,V}$ [mm]	$\psi_{ec2,N}$	$\psi_{s,N}$	$\psi_{tr,N}$
35	0.937	6	0.988	1.000	1.000
$N_{Rd,c}^0$ [kN]	$\gamma_{M,c,p}$	$V_{Rd,cb}$ [kN]	$V_{Ed}$ [kN]		
360.135	1.500	848.007	42.120		

#### 5 Carichi combinati di trazione e di taglio SOFA (fib (07/2011), paragrafo 10.3)

	$\beta_N$	$\beta_V$	$\alpha$	Utilizzo $\beta_{N,V}$ [%]	Stato
Acciaio senza braccio di leva	0.145	0.160	2.000	5	OK
Acciaio con braccio di leva	0.124	0.730	1.000	86	OK
Calcestruzzo	0.137	0.050	1.500	7	OK

$$\beta_N^2 + \beta_V^2 \leq 1$$

#### 6 Spostamenti (ancorante più sollecitato)

Carichi a breve termine:

$N_{Sk}$ = 13.008 [kN]	$\delta_N$ = 0.032 [mm]
$V_{Sk}$ = 8.628 [kN]	$\delta_V$ = 0.173 [mm]
	$\delta_{NV}$ = 0.176 [mm]

Carichi a lungo termine:

$N_{Sk}$ = 13.008 [kN]	$\delta_N$ = 0.072 [mm]
$V_{Sk}$ = 8.628 [kN]	$\delta_V$ = 0.259 [mm]
	$\delta_{NV}$ = 0.269 [mm]

Commenti: Gli spostamenti a trazione risultano validi con metà del valore della coppia di serraggio richiesta per non fessurato calcestruzzo! Gli spostamenti a taglio sono validi trascurando l'attrito tra il calcestruzzo e la piastra d'ancoraggio! Lo spazio derivante dal foro eseguito con perforatore e dalle tolleranze dei fori non viene considerato in questo calcolo!

Gli spostamenti ammissibili dell'ancorante dipendono dalla struttura fissata e devono essere definiti dal progettista!



